



حذف تراسایکلین از محیط آبی با استفاده از بایوچار جلبک اصلاح شده با منگنز مولیبدات: مطالعه شاخص‌های مؤثر، مدل‌های سینتیک و ایزوترم جذب

محمد عجم^{*}، مجید احتشامی^۲، سیامک بوداچپور^۳، سیداحمد میرباقری^۴

۱- دانشجوی دکترا- گروه محیط زیست- دانشکده عمران- دانشگاه خواجه نصیرالدین طوسی- تهران- ایران.

۲- دانشیار- گروه محیط زیست- دانشکده عمران- دانشگاه خواجه نصیرالدین طوسی- تهران- ایران.

۳- استادیار- گروه محیط زیست- دانشکده عمران- دانشگاه خواجه نصیرالدین طوسی- تهران- ایران.

۴- استاد- گروه محیط زیست- دانشکده عمران- دانشگاه خواجه نصیرالدین طوسی- تهران- ایران.

تاریخ دریافت: ۱۳۹۹/۰۶/۱۲، تاریخ پذیرش: ۱۳۹۹/۰۹/۱۷

چکیده

مقدمه: وجود تراسایکلین در آب‌های آشامیدنی سبب ایجاد مشکلات بهداشتی برای انسان‌ها می‌گردد. در مطالعه حاضر توانایی بایوچار (زغال تهیه شده از زیست‌توده‌های گیاهی) اصلاح شده با منگنز مولیبدات، در جذب آنتی‌بیوتیک تراسایکلین از محیط‌های آبی مورد بررسی قرار گرفت.

مواد و روش‌ها: این مطالعه یک مطالعه بنیادی کاربردی می‌باشد که در آن از کامپوزیت بایوچار جلبک و منگنز مولیبدات به عنوان جاذب مؤثر در حذف آنتی‌بیوتیک تراسایکلین استفاده شد. در ابتدا مفوولوژی و ویژگی‌های کامپوزیت سنتز شده تجزیه و تحلیل گردید. سپس اثر شاخص‌های عملیاتی شامل وزن و مقدار جاذب، زمان تماس، غلظت آنتی‌بیوتیک و H_p بر حذف بررسی شد. همچنین داده‌های حاصل نیز با استفاده از مدل‌های ایزوترم و سینتیکی و مطالعه ترمودینامیکی مورد برآش قرار گرفت.

نتایج: نتایج آزمایشات نشان داد که شرایط بهینه در دوز تراسایکلین ۱۰ میلی‌گرم بر لیتر، pH برابر با ۷ و دوز جاذب ۷/۵ گرم بر لیتر و جذب ۱۱ درصد بود. همچنین داده‌های ثابت تعادل با مدل ایزوترم لانگموئر با ضریب همبستگی (R_d) ۰/۹۹۰۰ انطباق بیشتری داشت و سینتیک حذف تراسایکلین نیز از نوع درجه دوم (با ضریب همبستگی ۰/۹۶) بود.

نتیجه‌گیری: نتایج مطالعه، توانایی کامپوزیت بالای بایوچار و منگنز مولیبدات را در جذب تراسایکلین نشان داد. به دلیل جداسازی آسان و عدم باقی ماندن مؤثر در پساب، می‌توان از این کامپوزیت برای حذف ترکیبات مختلف از منابع آبی استفاده کرد.

واژه‌های کلیدی: جذب سطحی، تراسایکلین، بیوچار، منگنز مولیبدات.

***نویسنده مسئول:** دانشجوی دکترا رشته مهندسی عمران گرایش محیط زیست دانشگاه خواجه نصیرالدین طوسی، تلفن: ۰۹۱۲۵۷۳۰۶۹۳، نمایر: ۰۲۱۸۸۷۷۹۴۷۵

Email: m_ajam88@yahoo.com

ارجاع: عجم، محمد، احتشامی مجید، بوداچپور سیامک، میرباقری سید احمد. حذف تراسایکلین از محیط آبی با استفاده از بایوچار جلبک اصلاح شده با منگنز مولیبدات: مطالعه شاخص‌های مؤثر، مدل‌های سینتیک و ایزوترم جذب. مجله دانش و تندرستی در علوم پایه پزشکی (۱۳۹۹)، ۱۵(۳)، ۶۷-۷۶.

مقدمه

بر اساس آمارها، بیش از دو میلیارد نفر از ساکنین کره زمین به آب آسامیدنی سالم و تمیز دسترسی ندارند و بیش از چهار میلیارد نفر نیز از سیستم جمع‌آوری و تصفیه فاضلاب مناسب برخوردار نیستند (۱). امروزه، تخلیه‌ی خودسرانه‌ی آلاینده‌ها به محیط، نگرانی‌های عمده‌ای را در رابطه با سلامتی به وجود آورده است. در سال‌های اخیر و به‌منظور پیشگیری و درمان بیماری‌های عفونی، به‌طور گسترده‌ای از انواع آنتی‌بیوتیک‌های دارویی، نظیر تتراسایکلین استفاده شده است (۲).

تتراسایکلین در صنایع دام و طیور نیز به‌منظور جلوگیری از شیوع بیماری‌ها استفاده می‌شود (۳ و ۴). با توجه به نرخ سوت و ساز پایین تتراسایکلین در حیوانات و انسان‌ها، حدود ۶۰ الی ۸۰ درصد از آن در محیط‌های مختلف باقی می‌ماند (۵). باقی مانده این ماده در خاک، رسوبات و محیط زیست آبی یافت شده است (۶-۸). این مقادیر از تتراسایکلین ممکن است به عوارض جانبی متعددی نظیر مقاومت در برابر باکتری‌ها و تغییر در عملکرد های میکروبی (۹ و ۱۰) و تولید ژن‌های مقاوم به آن که می‌تواند ایمنی انسان را کاهش دهد منجر گردد (۸ و ۱۱). همچنین برخی از ترکیبات حاوی تتراسایکلین که عملکرد های فیزیولوژیکی انسان را به شدت ضعیف می‌کنند، سلطان‌زا و جهش‌زا هستند یا اثرات هورمونی دارند (۱۲). در نتیجه، برای داشتن محیط زیستی امن، کنترل و مدیریت تتراسایکلین و سایر آنتی‌بیوتیک‌ها ضروری است (۱۳). به‌منظور حذف تتراسایکلین از آب و فاضلاب، فرآیندها و روش‌های مختلفی از جمله بیولوژیکی، کلرزنی، الکتروشیمیایی، غشایی و فرآیند جذب مورد استفاده قرار است (۱۲). هزینه کم، بهره‌برداری آسان، راندمان بالای حذف در غلظت بسیار پایین و عدم سمیت ناشی از واسطه‌ها و فراورده‌های جانبی، از مزایای روش جذب سطحی در مقایسه با سایر فناوری‌ها محسوب می‌شود (۳ و ۱۴-۱۶). بهدلیل قابلیت دسترسی آسان و طبیعی بودن بایوچار، معمولاً از آن در تصفیه‌ی آب به عنوان یک روش پاک استفاده می‌شود (۱۷ و ۱۸): پژوهش‌هایی نیز وجود دارد که در آنها از بایوچار برای حذف تتراسایکلین استفاده شده است (۱۹). اما با توجه به اینکه باعث بیوچارهای خام ساختارهای متخلخل اندکی دارند و مکان‌های فعال آنها بسیار اندک است توانایی محدودی برای حذف دارند. لذا برخی از پژوهشگران روش‌های مختلفی از جمله اصلاح با مواد آلی طبیعی و اصلاح با نانوذرات را برای رفع این اشکالات پیشنهاد کرده‌اند (۱۵ و ۱۹). در این مطالعه، از نانومتریال منگنز مولیبدات با استفاده از اولتراسونیک به عنوان روشی ساده، سریع و در عین حال مقرون به صرفه و سازگار با محیط زیست جهت بهبود کارآیی جذب سطحی تتراسایکلین از آب توسط بایوچار، استفاده شد. در این پژوهش برای

مواد و روش‌ها

تمام مواد شیمیایی مورد استفاده در این مطالعه دارای خلوص آزمایشگاهی بودند. مواد شیمیایی مورد استفاده در مطالعه حاضر مانند آمونیوم مولیبدات تتراهیدرات ($(\text{NH}_4)_6\text{Mo}_7\text{O}_{24} \cdot 4\text{H}_2\text{O}$)), کلرید منگنز ($\text{MnCl}_2 \cdot 4\text{H}_2\text{O}$), اسید هیدروکلریک (HCl) و هیدروکسید سدیم (NaOH) از شرکت سیگما-آلدربیج خریداری شد. همچنین تتراسایکلین نیز با فرمول شیمیایی $\text{C}_{22}\text{H}_{22}\text{N}_2\text{O}_8$ و وزن مولکولی $444/435\text{g/mol}$ و خلوص $99/99$ درصد از شرکت سیگما-آلدربیج خریداری شد. تمام آزمایشات در آزمایشگاه محیط زیست دانشگاه استرلن شرقی فنلاند انجام شد.

سترن نانوکامپوزیت (بیوچار اصلاح شده با منگنز مولیبدات) در ۳ مرحله سترن بیوچار، سترن منگنز مولیبدات و در نهایت ساخت کامپوزیت انجام شد. در مرحله نخست، جلبک مورد استفاده برای تصفیه فاضلاب لبینیات کارخانه کوپیو فنلاند، به آزمایشگاه محیط زیست دانشگاه استرلن شرقی فنلاند منتقل شد. سپس با آب و اتانول، شسته و کاملاً خشک شد. ماده‌ی حاصل در کوره گاز ازت حرارت داده شد. نرخ افزایش دما ۳ درجه سانتی‌گراد بود و وقتی درجه حرارت به ۳۰۰ درجه سانتی‌گراد رسید مواد به مدت یک ساعت در این دما بدون وجود اکسیژن نگه داشته شدند. در نهایت، مواد به مدت ۴ ساعت سرد شدند که منجر به تشکیل بیوچار شد. در گام دوم، ۱۵ گرم اولتراسونیک اسکار) با شدت بالا (با سرعت ۴۰ کیلوهertz) فرار داده شد. دمای واکنش، کنترل شده نبود و دمای نهایی نیز ۴۰ درجه سانتی‌گراد بود. رسوب به دست آمده با استفاده از سانتریفوژ به مدت ۵ دقیقه با 7000 rpm جمع‌آوری و با آب دیونیزه شده به خوبی شسته شد. پس از خشک شدن در آون (80°C درجه سانتی‌گراد) به مدت ۱۲ ساعت، رسوبی به رنگ زرد مایل به سفید به دست آمد. در نهایت، نمونه‌ها در کوره در دمای 500°C درجه به مدت ۳ ساعت کلینینه شد. در

ثبت شد. تفاوت بین pH آغازین و پایانی (pHi-pHf) به عنوان محور عمودی و pH به عنوان محور افقی بر روی نمودار رسم شد. نقطه تقاطع نمودار با محور افق، نقطه بار صفر در نظر گرفته شد (۲۰).

مطالعات سینتیکی و ایزوترمی فرآیند جذب، در شرایط بهینه متغیرهای ورودی انجام شد. ابتدا به منظور تعیین میزان جذب ماده‌ی جذب شونده و همچنین تعیین دینامیک فرآیند جذب در طی زمان، مدلسازی سینتیک اجرا شد. بر این اساس، در پژوهش حاضر مدل‌های مختلفی از جمله اشکال غیرخطی از مدل‌های شبیه درجه اول (۲۱) و شبیه درجه دوم (۲۲) و مدل آورامی (۲۳) (معادلات ۵-۷) از طریق داده‌های آزمایشی و نرمافزار Excel و با استفاده از عملکرد ابزار Solver بررسی شد.

$$(3) \quad q_t = q_e(1 - e^{-K_1 t})$$

$$(4) \quad q_t = \frac{q_e^2 k_2 t}{1 + q_e k_2 t}$$

$$(5) \quad q_t = q_e(1 - e^{-(K_{AVt})^n AV})$$

در این معادله، q_t و q_e به ترتیب ظرفیت جذب بر حسب میلی‌گرم بر گرم در تعادل و در زمان t بر حسب دقیقه، k_1 ثابت سرعت سینتیک شبیه درجه اول بر حسب عکس دقیقه، k_2 ثابت سرعت سینتیک شبیه درجه دوم بر حسب گرم بر میلی‌گرم در دقیقه، و K_{AV} ثابت سینتیک آورامی بر حسب عکس دقیقه است.

به منظور بهینه سازی حذف تراسایکلین از محیط آبی، بررسی ایزوترم‌های تعادل نیز ضروری است. در مطالعه‌ی حاضر، مدل‌های ایزوترم فرندیخ، لانگمویر (۲۴) و سپس (۲۵) با استفاده از نرمافزار Excel بررسی شد. اشکال غیرخطی مدل‌های لانگمویر، فرندیخ، آورامی به صورت معادلات زیر (معادله‌های ۶-۸) است:

$$(6) \quad q_e = \frac{q_m K_L C_e}{1 + K_L C_e}$$

$$(7) \quad q_e = K_F C_e^n$$

$$(8) \quad q_e = \frac{q_m (K_s C_e)^m}{1 + (K_s C_e)^m}$$

در این معادله‌ها، C_e غلظت تعادل در محلول در زمان تعادل بر حسب میلی‌گرم بر لیتر، q_e مقدار ماده جذب شده توسعه جاذب در زمان تعادل بر حسب میلی‌گرم بر گرم، q_m حداکثر میزان جذب ماده‌ی جذب‌شونده بر حسب میلی‌گرم بر گرم، K_L ضریب همبستگی بین ماده‌ی جاذب و جذب‌شونده بر حسب لیتر بر میلی‌گرم، K_F ثابت فرندیخ بر حسب میلی‌گرم بر گرم، n توان فرندیخ (که با شدت جذب مرتبط است) و K_S ثابت همبستگی بر حسب لیتر بر میلی‌گرم در مدل ایزوترم سپس است.

دو شاخص یعنی ضریب همبستگی (R^2) و جذر میانگین مربعات خطای (RMSE: Root Mean Square Error) به منظور مقایسه‌ی متغیرهای وابسته در مدل‌های مختلف به کار گرفته شد. به طور کلی از

مرحله نهایی ساخت کامپوزیت، ۳ نمونه به ترتیب به مقدار ۴۰، ۴۰، ۴۰ درصد وزنی بیوجار و ۶۰، ۶۰، ۶۰ درصد وزنی منگز مولیبدات در ۵۰ میلی‌لیتر آب به مدت ۲ ساعت مخلوط شد. هر کدام از سوسپانسیون‌ها در یک اتوکلاو ۱۰۰ میلی‌لیتری، در دمای ۱۲۰ درجه سانتی‌گراد به مدت ۲ ساعت قرار داده شد. پس از سانتریفیوژ، نمونه به مدت یک ساعت در کوره با دمای ۸۰ درجه سانتی‌گراد خشک شد. در انتهای، نمونه به مدت ۲ ساعت در کوره با دمای ۶۵ درجه سانتی‌گراد قرار داده شد. جهت انجام مطالعه جذب، ابتدا محلول استوک تراسایکلین با حل یک گرم از این آنتی‌بیوتیک در یک لیتر آب مقطر تهیه شد و غلظت‌های موردنظر نیز با رقیق‌سازی از محلول استوک تهیه شد. راکتور آزمایش، لوله‌های سانتریفیوژ ۵۰ میلی‌لیتری از جنس پلی‌اتیلن و نوع راهبری آن، ناپیوسته بود. لوله‌ها در مدت زمان‌های تعیین شده، بر روی شیکر با سرعت ۸۰ دور در دقیقه قرار گرفت. به منظور بهینه‌سازی فرآیند و بررسی متغیرهای مؤثر بر کارایی جذب، میزان دوز جاذب، ۰/۲۵، ۰/۲۵، ۰/۲۵ و ۱/۵ گرم بر لیتر، غلظت اولیه تراسایکلین بین ۵ تا ۴۰۰ میلی‌گرم بر لیتر، مقدار pH بین ۳ تا ۱۱ و زمان تماس بین صفر تا ۱۲۰ دقیقه در نظر گرفته شد. تمام آزمایشات دو بار تکرار شد. pH محلول با افروختن قطره‌ای اسید هیدروکلریک M/۱ یا هیدروکسید سدیم M/۱ تنظیم شد. به منظور جداسازی جاذب، در ابتدا هر نمونه توسط دستگاه Heraeus Labofuge 200 در ۵۰۰۰ دور در دقیقه به مدت ۵ دقیقه سانتریفیوژ گردید و سپس از کاغذ فیلتر ۴۲/۰ میکرون عبور داده شد. در نهایت غلظت باقیمانده تراسایکلین توسط اسپکتروفوتومتر (Philler Scientific, SU6100 UV-VIS) در طول موج ۳۵۷ نانومتر تعیین شد.

دو معادله‌ای که برای ارزیابی راندمان جذب و ظرفیت جذب تراسایکلین توسط جاذب استفاده شد، به شرح ذیل است:

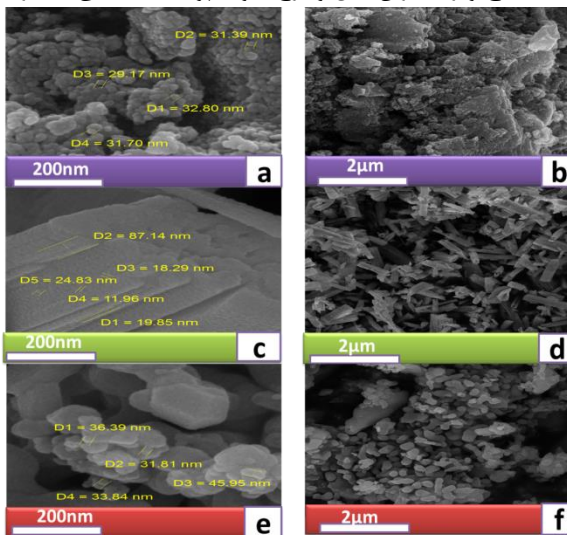
$$(1) \quad \text{راندمان جذب} = \frac{(C_i - C_e)}{C_i} \times 100$$

$$(2) \quad q_e = \frac{v(C_i - C_e)}{W}$$

در این معادله، C_i و C_e به ترتیب غلظت اولیه و غلظت تعادل جذب بر حسب میلی‌گرم در لیتر، q_e ظرفیت جذب بر حسب میلی‌گرم بر گرم، v حجم محلول تراسایکلین بر حسب لیتر و W جرم ماده‌ی جاذب بر حسب گرم است (۱۹).

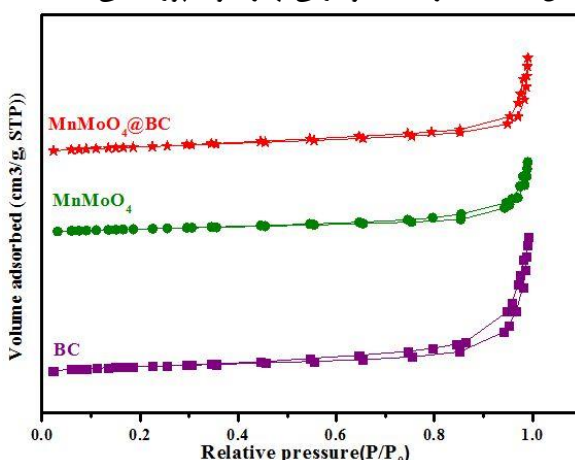
برای انجام آزمایشات تعیین نقطه بار صفر جاذب، ابتدا ۶ نمونه ۰/۰۰۵ میلی‌لیتری محلول سدیم کلرید ۱۰۰ مولار تهیه شد. سپس ۰/۰۰۵ گرم جاذب در هر کدام ریخته شد و pH اولیه نمونه‌ها نیز با استفاده از اسید و سود روی ۲، ۴، ۶، ۱۰، ۱۱ و ۱۲ تنظیم شد. سوسپانسیون‌ها به مدت ۲۴ ساعت در دمای ۲۵ درجه سانتی‌گراد با استفاده از مخلوط‌کن ۸۰ دور در دقیقه به هم زده شدند و مقادیر پایانی pHf برای هر نمونه

سطح ویژه و حجم منافذ جاذب استفاده شد. جدول ۱ نشان می‌دهد که مساحت سطح ویژه، میزان خلل و فرج نانوکامپوزیت اصلاحی، از هر



شکل ۲- تصاویر SEM بیوچار (c-d) و کامپوزیت (e-f) MnMoO₄

کدام از جاذب‌های بیوچار و منگنز مولیبدات بیشتر است. همچنین اندازه قطر ذرات نانو کامپوزیت اصلاحی نیز کوچکتر است. همان‌طور که در شکل ۳ مشخص است، ایزوترم برای مواد مخلخل به کار ایزوترم نوع IV می‌باشد. این نوع ایزوترم برای ایزوگرافی افزایش بردۀ می‌شود که در آن، میزان جذب به مقدار قابل توجهی افزایش می‌یابد و ماده جذب‌شونده روی سطح، متراکم می‌شود. همان‌طور که در شکل ۳ مشخص است میزان گاز نیتروژن جذب شده در کامپوزیت بایوچار- منگنز مولیبدات نسبت به منگنز مولیبدات و بایوچار بیشتر است که در کنار کاهش قطر ذرات و افزایش سطح مخصوص، از دلایل جذب بیشتر آلاینده و کارایی بهتر نانوکامپوزیت می‌باشد.



شکل ۳- ایزوترم‌های جذب/ دفع بیوچار BC نمونه‌های MnMoO₄ و کامپوزیت MnMoO₄@BC

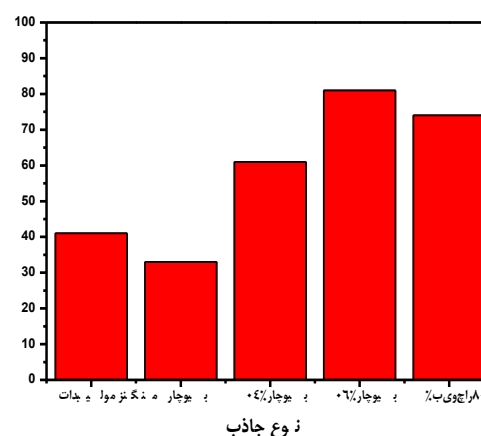
ضرایب همبستگی برای نشان دادن تناسب مدل با داده‌های آزمایشی استفاده می‌شود. جذر میانگین مربعات خطای معادله (۹) نشان داده شده است (۲۶).

$$(9) \quad \sqrt{\frac{\sum_{i=1}^N (q_{\text{exp}} - q_{\text{model}})^2}{N}} = \text{جذر میانگین مربعات خطای}$$

در این معادله، حرف q_{exp} مقداری است که به صورت آزمایشی برآورده شده و q_{model} مقادیر مدل‌سازی شده است. مدلی که جذر میانگین مربعات خطای آن کمتر باشد داده‌ها را با دقت بیشتری تعریف می‌کند (۲۷).

نتایج

ابتدا با آزمایش‌های اولیه مؤثرترین جاذب از بین سه جاذب با نسبت‌های ترکیبی مختلف (درصد وزنی به ترتیب ۶۰ به ۴۰، بیوچار و منگنز مولیبدات) انتخاب شد. سپس ادامه فرآیند با کامپوزیت فوق انجام شد. شکل (۱) راندمان حذف تتراسایکلین را با استفاده از جاذب‌های مختلف نشان می‌دهد.



شکل ۱- مقایسه‌ی راندمان حذف تتراسایکلین با استفاده از جاذب‌های مختلف شرایط آزمایش: غلظت جاذب = ۰/۷۵ میلی‌گرم در لیتر، pH = ۷، زمان = ۲ ساعت، دما = ۲۵ درجه سانتی‌گراد و بیوچاری‌های ساختاری نانو ذرات سنتز شده با استفاده از میکروسکوپ الکترونی (FESEM: Field Emission Scanning Electron Microscopy) (مدل TeScan-Mira III Microscopy) ساخت کشور جمهوری چک) ارزیابی شد. همان‌طور که در شکل ۲ دیده می‌شود، بیوچار به صورت فلوکه و منگنز مولیبدات به صورت میله‌ای تشکیل شده است (۲۰). کامپوزیت نهایی از قرارگرفتن بیوچار بر روی نانومیله‌های منگنز مولیبدات تشکیل شد.

مدل بروونر-امت-تلر (BET: Brunauer-Emmett-Teller) با استفاده از دستگاه Belsorp Mini II (ژاپن) برای ارزیابی مساحت

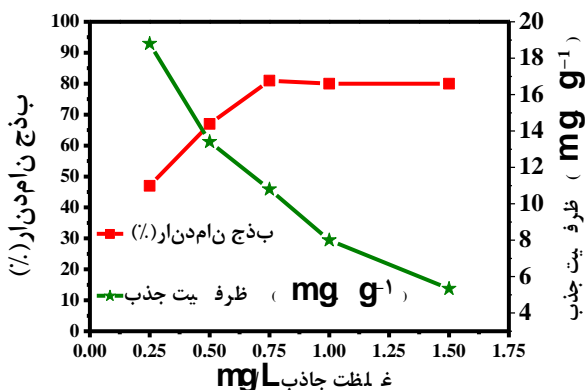
است که در سیستم‌های تصفیه فاضلاب واقعی، شرایط pH بالا را داشته باشیم. همچنین درصد حذف در pH خنثی، ۸۱ درصد بود. همان‌طور که شکل ۸ نشان می‌دهد تأثیر زمان تماس بر جذب تتراسایکلین در غلظت اولیه ۱۰ میلی‌گرم در لیتر و دوز جاذب ۷/۵۰ گرم در لیتر بررسی شد. در ابتداء، سرعت جذب تتراسایکلین سریع بود؛ اما بعداً کاهش یافت. دلیل این کاهش، پر شدن خلل و فرج نانوکامپوزیت می‌باشد. همچنین با توجه به کاهش تعداد مکان‌های فعال، میزان جذب ثابت ماند و تعادل جذب در زمان ۱۲۰ دقیقه با راندمان حذف ۸۱ درصد مشاهده شد که به عنوان زمان تعادل انتخاب گردید.

غلظت الکتروولیت (NaCl) در محلول آبی، تأثیر چشمگیری بر جذب می‌گذارد. همان‌طور که شکل ۸ نشان می‌دهد با افزایش غلظت الکتروولیت از ۰ تا ۵۰ مولار، راندمان حذف از ۸۱ درصد به ۵۱ درصد کاهش یافت که نشان داد Na^+ با ملکول‌های تتراسایکلین برای مکان‌های جذب در رقابت بود (۲۲).

با کمک داده‌های آزمایش، مدل‌های سینتیک مختلف نظری اشکال غیرخطی از مدل‌های شبه درجه اول، شبه درجه دوم و آورامی شبیه‌سازی شدند (شکل ۹). اگرچه بهترین مدل داده‌های آزمایش در مدل شبه درجه دوم مشاهده شد با این حال ضریب همبستگی مدل آورامی، مدل‌های شبه درجه اول و شبه درجه دوم نیز تناسب کامل با داده‌های آزمایش داشتند که در جدول ۲ نشان داده شده است. نزدیک بودن مقادیر ظرفیت جذب آزمایشی (q_{exp}) و مقادیر ظرفیت جذب محاسبه شده (q_{cal}) در مدل‌های موردمطالعه، صحت ادعای فوق را تأیید می‌کند. ضریب همبستگی (R_2) برای سینتیک شبه درجه دوم بیش از ۹۶٪ بود که نشان می‌دهد فرآیند جذب ممکن است با جذب شیمیایی محدود شود. بر اساس این نتایج، مدل شبه درجه دوم بهترین مدل در میان سایر مدل‌ها برای توجیه فرآیند جذب تتراسایکلین می‌باشد (۲۳). طبق نظریه‌ی جذب شیمیایی، فرض بر این است که در این فرآیند، پیوندی شیمیایی برای اتصال ماده‌ی جاذب به سطح ماده‌ی جذب‌شونده شکل می‌گیرد زیرا یون‌های تتراسایکلین ترجیح می‌دهند دنبال مکان‌هایی بگردند که با سطح جاذب، هماهنگ‌تر شوند. علاوه بر این، بین مقادیر qe مدل‌های مختلف سینتیک و مقادیر qe آزمایش، هماهنگی وجود داشت.

به منظور حذف تتراسایکلین از محیط آبی، شناسایی مناسب‌ترین رابطه برای ایزووترم‌های تعادل ضروری است تا بدین‌وسیله طراحی سیستم جذب سطحی بهتر شود. در این مطالعه، مدل‌های مختلف ایزووترم از جمله لانگمویر، فرنرلیخ و سپس برای تعیین داده‌های ایزووترم جذب استفاده شد. همان‌طور که شکل ۱۰ و در جدول ۳ نشان می‌دهد مدل‌های لانگمویر در مقایسه با مدل‌های دیگر برآزش بهتری

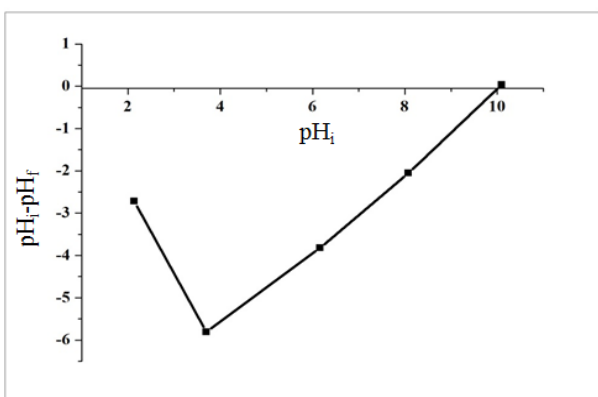
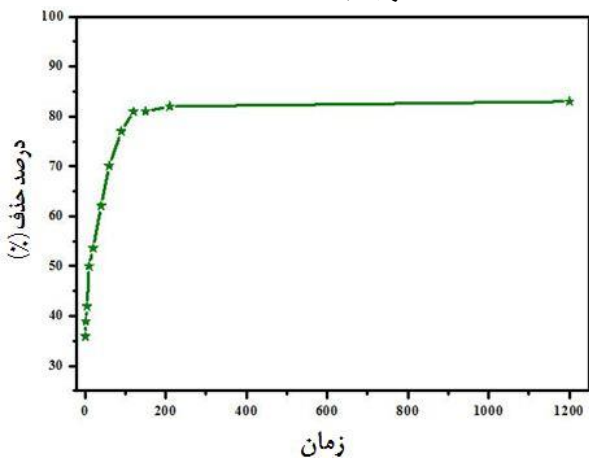
مطالعات جذب تتراسایکلین با در نظر گرفتن دوز جاذب، غلظت تتراسایکلین، زمان تماس و pH صورت گرفت. به منظور بررسی تأثیر دوز جاذب (شکل ۴)، مقدار جاذب از ۰/۵ تا ۱/۵ گرم بر لیتر افزایش داده شد درحالی که، غلظت تتراسایکلین، زمان تماس و pH به ترتیب ۱۰ میلی‌گرم بر لیتر، ۲ ساعت و ۷ بود. همان‌طور که در شکل ۴ دیده می‌شود با افزایش مقدار جاذب از ۰/۲۵ به ۰/۷۵ گرم بر لیتر، میزان حذف تتراسایکلین از ۴۷/۲ به ۸۱/۴ درصد افزایش یافت. با توجه به ایجاد تعادل جذب بین ماده‌ی جاذب و تتراسایکلین در محلول، در مقادیر جاذب بالاتر از ۰/۷۵، درصد حذف ثابت ماند. در نتیجه، مقدار ایده آل جاذب، ۰/۷۵ گرم بر لیتر در نظر گرفته شد.



شکل ۴- تأثیر دوز جاذب
شرایط آزمایش: غلظت تتراسایکلین = ۱۰ میلی‌گرم در لیتر، pH = ۷، زمان = ۲ ساعت، دما = ۲۵ درجه سانتی‌گراد

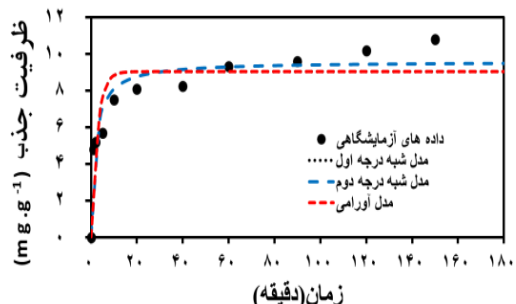
به منظور بررسی تأثیر غلظت اولیه‌ی تتراسایکلین در جذب، با ثابت نگهداشتن تمام شاخص‌های دیگر یعنی در مقدار جاذب ۰/۷۵ گرم بر لیتر، دمای ۲۵ درجه سانتی‌گراد، سرعت همنز ۸۰ دور در دقیقه، زمان ۱۲۰ دقیقه و pH برابر ۷، غلظت تتراسایکلین اولیه از ۵ تا ۴۰۰ میلی‌گرم بر لیتر افزایش داده شد. همان‌طور که شکل ۵ نشان می‌دهد افزایش غلظت تتراسایکلین باعث افزایش ظرفیت جذب شد؛ درحالی که درصد جذب در حال کاهش بود (۲۱).

برای بررسی تأثیر pH اولیه محلول بر جذب تتراسایکلین، آزمایش‌های ناپیوسته‌ای با مقادیر مختلف pH (از ۳ تا ۱۱) انجام شد (شکل ۶). بالاترین راندمان حذف در pH حدود ۱۰ و به میزان ۸۴ درصد بود. نقطه‌ی بار صفر (pHzpc) یک شاخص مهم برای درک فرآیند جذب است. بر اساس نتایج ارایه شده در شکل ۷، pHzpc حاصل از جاذب برابر با ۹/۹ بود. اگرچه عملکرد جذب تتراسایکلین روی ماده‌های جاذب در pHهای بالاتر بهتر بود اما آزمایش‌های بیشتر در این مطالعه، در pH محلول اصلی (۷) انجام شد زیرا بسیار بعید

شکل ۷- pH_c حاصل از جاذب

شکل ۸- تأثیر زمان تماس

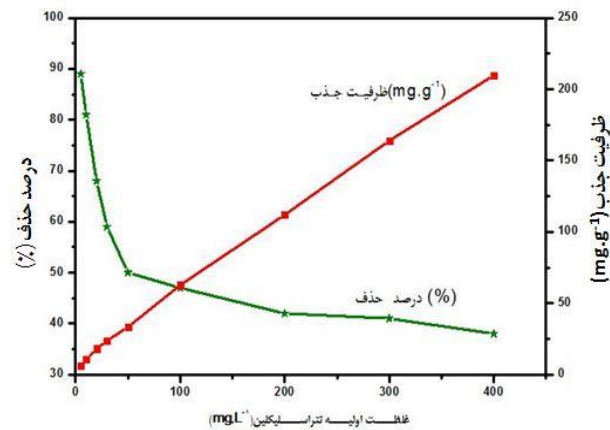
شرایط آزمایش: غلظت ماده‌ی جاذب = ۰/۷۵ گرم در لیتر، غلظت تراسایکلین = ۱۰ میلی‌گرم در لیتر، pH = ۷، دما = ۲۵ درجه سانتی‌گراد



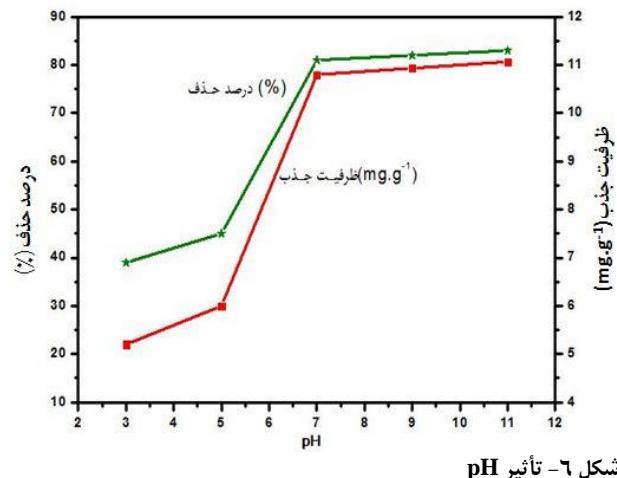
شکل ۹- قدرت یونی در جذب تراسایکلین

شرایط آزمایش: غلظت ماده‌ی جاذب = ۰/۷۵ گرم در لیتر، زمان = ۲ ساعت، دما = ۲۵ درجه سانتی‌گراد

نشان می‌دهند. مقدار ضریب همبستگی در مدل لانگمویر، $۰/۹۹۷$ بهدست آمد که به مقدار ۱ نزدیک بود؛ این بدان معنی است که جذب تطبیق خوبی با این مدل دارد و فرآیند جذب در سطح، همگن بود. ظرفیت جذب تراسایکلین از طریق مدل لانگمویر، $۲۱۳/۳۱$ میلی‌گرم بر گرم بهدست آمد. جدول ۴، ظرفیت‌های جذب تراسایکلین توسط جاذب‌های مختلف را نشان می‌دهد.

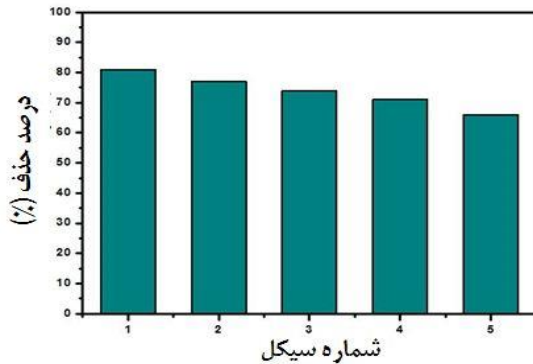


شکل ۵- تأثیر غلظت اولیه تراسایکلین
شرایط آزمایش: غلظت ماده‌ی جاذب = ۰/۷۵ گرم در لیتر، pH = ۷، زمان = ۲ ساعت، دما = ۲۵ درجه سانتی‌گراد

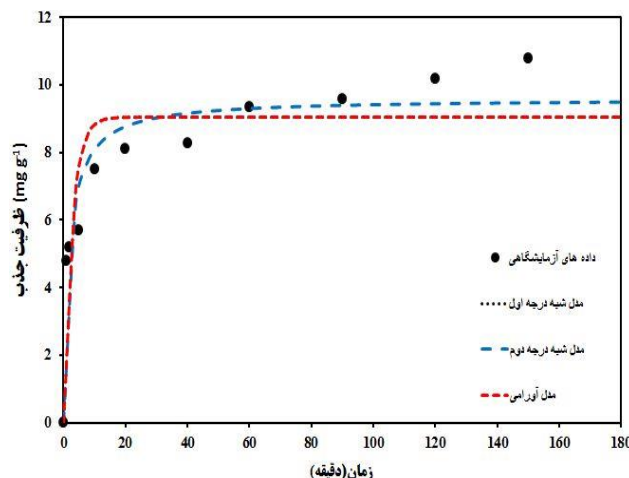


شکل ۶- تأثیر pH
شرایط آزمایش: غلظت ماده‌ی جاذب = ۰/۷۵ گرم در لیتر، غلظت تراسایکلین = ۱۰ میلی‌گرم در لیتر، زمان = ۲ ساعت، دما = ۲۵ درجه سانتی‌گراد

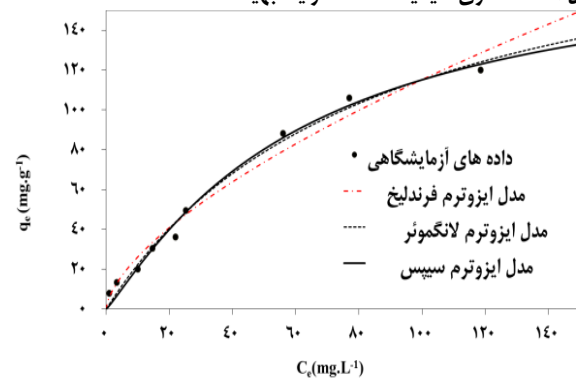
از منظر زیست محیطی و اقتصادی، قابلیت استفاده مجدد نانوکامپوزیت سنتز شده بسیار مورد توجه است. در همین راستا، جاذب استفاده شده، پنج بار پس از جمع آوری، با اتانول شسته و در آون خشک شد. در اولین چرخه فرآیند جذب-دفع، ماده جاذب بازیافت شده، راندمان حذف ۸۱ درصد را نشان داد. اما در چرخه‌ی چهارم فرآیند جذب-دفع، راندمان حذف تراسایکلین ۶۶ درصد را نشان داد (شکل ۱۱).



شکل ۱۱- متغیرهای راندمان حذف در طی ۵ دور متوالی جذب



شکل ۹- مدلسازی سینتیک تحت شرایط بهینه



شکل ۱۰- مدلسازی ایزوترم

جدول ۱- مساحت سطح و شاخص‌های تخلخل بیوچار، مولیدات منگنز و کامپوزیت

نمونه	قطر ذرات (nm)	حجم خالی (cm³/g)	مسطح مخصوص (m²/g)
بیوچار	۲۹/۳۵	۰/۰۵۱	۶/۹۶
منگنز لیدات	۲۲/۲۸	۰/۰۲۷	۴/۸۵
کامپوزیت	۱۹/۴۴	۰/۰۳۶	۷/۲۴

جدول ۲- شاخص‌های سینتیک

شیوه درجه اول	R²	K₁ (عکس دقیقه)				RMSE
		Qe(exp) (میلی گرم بر گرم)	K₁ (عکس دقیقه)	Qe(cal) (میلی گرم بر گرم)	R²	
۱۰/۹۳	۰/۹۲	۱۰/۹۳	۰/۳۶	۹/۰۴	۱/۲	شیوه درجه دوم
۱۰/۹۳	۰/۹۶	۱۰/۹۳	۰/۰۵	۹/۵۹	۰/۸۳	R²
۱۰/۹۳	۰/۹۲	Kav	nav	Qe(cal) (میلی گرم بر گرم)	RMSE	آوارامی
۱۰/۹۳	۰/۹۲	۰/۰۸	۴/۳۳	۹/۰۴	۱/۲	R²

جدول ۳- شاخص‌های ایزوترم

مدل ایزوترم لانگمور	R²
qₘ (میلی گرم بر گرم)	۰/۹۸

مدل ایزوترم فرننلیخ	R^2
RMSE	.۹۷
مدل ایزوترم سیپس	R^2
N	.۹۸

K_F	1/n
۵/۹۴	۱/۵۵
q_m (میلی گرم بر گرم)	۶/۸۸
۱۸۱/۵۲	K_S (لیتر بر میلی گرم)
	.۰۰۹

سطح نانو کامپوزیت، دارای بار مثبت شدن و نیروی دفع الکترواستاتیک، عمل کرد. از آنجا که در pH پایین تر از ۹/۹ بار سطحی نانو کامپوزیت مثبت است و بار سطحی تتراسایکلین ۲ TCH2 خنثی یا به صورت TCH-TC2- می باشد به دلیل نیروی جاذبه الکترواستاتیک، جذب تتراسایکلین توسط جاذب بهتر اتفاق می افتد و درصد جذب یا حذف آلاینده از محیط بیشتر می شود.

یکی از معیارهای مهم در فرآیند جذب، تعیین زمان تعادل می باشد. دسترسی به سطوح و مکان های جذب فراوان بر روی جاذب در زمان ابتدایی جذب را می توان دلیل اصلی افزایش درصد جذب با افزایش زمان دانست. با گذشت زمان و اشباع شدن سطح جاذب به وسیله تتراسایکلین، سطح جاذب کاهش می یابد، در نتیجه سرعت جذب کاهش پیدا می کند و در نهایت میزان جذب ثابت می گردد. از طرفی دیگر، کاهش غلظت آلاینده در محیط و در نتیجه کاهش احتمال برخورد با جاذب در زمان های بالاتر را می توان به عنوان یکی دیگر از عوامل کاهش سرعت جذب در زمان های بالاتر دانست (۲۴).

تشکر و قدردانی

این مطالعه بخشی از پژوهه تحقیقاتی مشترک دانشگاه استرن شرقی فنلاند و دانشگاه صنعتی خواجه نصیرالدین طوسی ایران است که در گروه مهندسی محیط زیست دانشگاه استرن شرقی در کشور فنلاند انجام شد. لذا از راهنمایی های همه اساتید و همکاران محترم، تشکر و قدردانی می گردد.

References

- Hokkanen S, Bhatnagar A, Srivastava V, Suorsa V, Sillanpää M. Removal of Cd²⁺, Ni²⁺ and PO₄³⁻ from aqueous solution by hydroxyapatite-bentonite clay-nanocellulose composite. *Int J Biol Macromol* 2018;118:903-12. doi:10.1016/j.ijbiomac.2018.06.095
- Jang HM, Yoo S, Choi YK, Park S, Kan E. Adsorption isotherm, kinetic modeling and mechanism of tetracycline on Pinus taeda-derived activated biochar. *Bioresour Technol* 2018;259:24-31. doi:10.1016/j.biortech.2014.01.068
- Li Y, Wang S, Zhang Y, Han R, Wei W. Enhanced tetracycline adsorption onto hydroxyapatite by Fe(III) incorporation. *J Mol Liq* 2017;247:171-81. doi:10.1016/j.molliq.2017.09.110
- Guo Y, Huang W, Chen B, Zhao Y, Liu D, Sun Y, et al. Removal of tetracycline from aqueous solution by MCM-41-zeolite A loaded nano zero valent iron: Synthesis, characteristic, adsorption performance and mechanism. *J Hazard Mater* 2017;339:22-32. doi:10.1016/j.jhazmat.2017.06.006
- Dai Y, Liu M, Li J, Yang S, Sun Y, Sun Q, et al. A review on pollution situation and treatment methods of tetracycline in groundwater. *Sep Sci Technol* 2019;1-17. doi:10.1080/01496395.2019.1577445

بحث

در ابتدا، حالت بهینه کامپوزیت جهت جذب تتراسایکلین با مقدار وزنی ۶۰ درصد با بیوچار و ۴۰ درصد منگنز مولبیدات، تعیین شد. نتایج حاصل از آزمایش BET نیز نشان داد که در این حالت، سطح مخصوص و خلل و فرج بیشتری در کامپوزیت نسبت به درصد های وزنی دیگر وجود دارد و اندازه نانو ذرات نیز کوچکتر است لذا این کامپوزیت نسبت به حالت های دیگر ارجح است.

در این مطالعه با افزایش دوز جاذب، درصد جذب بیشتر شد که ناشی از افزایش سطح دسترسی برای جذب می باشد. در غلظت های پایین، جاذب به سرعت توسط آلاینده اشباع شده و میزان جذب کاهش می یابد. از طرفی دیگر، ظرفیت جذب در دوز پایین تر، بیشتر است زیرا احتمالاً تعداد برخورد آلاینده به ازای واحد جرم جاذب در دوز های پایین جاذب، بیشتر خواهد بود.

نتایج نشان داد که با افزایش غلظت تتراسایکلین، درصد حذف کاهش یافت ولی ظرفیت جذب افزایش پیدا کرد. با ثابت بودن مقدار جاذب و افزایش غلظت آلاینده، سطح در دسترس، کاهش می یابد و به تبع آن، راندمان حذف نیز کمتر می شود. این در حالی است که به علت افزایش احتمال برخورد تتراسایکلین در غلظت های بالا با سطح جاذب، ظرفیت جذب افزایش پیدا می کند. با افزایش غلظت تتراسایکلین، نیروی محرک انتقال جرم و بنابراین سرعت عبور مولکول های تتراسایکلین از محلول به طرف لایه مایع احاطه کننده جاذب و نهایتاً به طرف سطح ذرات جاذب، افزایش می یابد. بنابراین با افزایش غلظت آلاینده، مقدار جذب به ازای واحد جرم جاذب، روند افزایشی خواهد داشت. نتایج مشابهی در تحقیقات ژانگ گزارش شده است (۲۴).

در بررسی تأثیر pH بر میزان حذف افزایش می یابد و بیشترین درصد حذف در pH حدود ۱۰ به دست آمد. طبق مطالعه قبلي (۳)، تتراسایکلین با بار مثبت (TCH3+) در pH پایین تر از ۳/۳ فعال می شود. در pH محلول بین ۳/۳ تا ۹/۷ سطح تتراسایکلین بدون بار (TCH2) یا با بار منفی (TCH-, TC2-) است و در pH بیشتر از ۹/۷ سطح تتراسایکلین، کاملاً با بار منفی (TC2-) است. همچنین همان طور که در شکل ۷ نشان داده شد نقطه بار صفر جاذب، ۹/۹ بود. لذا بار سطحی کامپوزیت قبل از pH ۹/۷ منفی و بعد از آن مثبت است. بنابراین هنگامی که pH محلول زیر ۳/۳ بود، هم تتراسایکلین و هم

6. Gao Y, Li Y, Zhang L, Huang H, Hu J, Shah SM, et al. Adsorption and removal of tetracycline antibiotics from aqueous solution by graphene oxide. *J Colloid Interface Sci* 2012;368:540-6. doi:[10.1016/j.jcis.2011.11.015](https://doi.org/10.1016/j.jcis.2011.11.015)
7. Jing XR, Wang YY, Liu WJ, Wang YK, Jiang H. Enhanced adsorption performance of tetracycline in aqueous solutions by methanol-modified biochar. *Chem Eng J* 2014;248:168-74. doi:[10.1016/j.cej.2014.03.006](https://doi.org/10.1016/j.cej.2014.03.006)
8. Xu XR, Li XY. Sorption and desorption of antibiotic tetracycline on marine sediments. *Chemosphere* 2010;78:430-6. doi:[10.1016/j.chemosphere.2009.10.045](https://doi.org/10.1016/j.chemosphere.2009.10.045)
9. Chen Y, Wang F, Duan L, Yang H, Gao J. Tetracycline adsorption onto rice husk ash, an agricultural waste: Its kinetic and thermodynamic studies. *J Mol Liq* 2016;222:487-94. doi:[10.1016/j.molliq.2016.07.090](https://doi.org/10.1016/j.molliq.2016.07.090)
10. Pi S, Li A, Wei W, Feng L, Zhang G, Chen T, et al. Synthesis of a novel magnetic nano-scale biosorbent using extracellular polymeric substances from Klebsiella sp. J1 for tetracycline adsorption. *Bioresour Technol* 2017;245:471-6. doi:[10.1016/j.biortech.2017.08.190](https://doi.org/10.1016/j.biortech.2017.08.190)
11. Chen H, Zhang M. Occurrence and removal of antibiotic resistance genes in municipal wastewater and rural domestic sewage treatment systems in eastern China. *Environ Int* 2013;55:9-14. doi:[10.1016/j.envint.2013.01.019](https://doi.org/10.1016/j.envint.2013.01.019).
12. Yu F, Li Y, Han S, Ma J. Adsorptive removal of antibiotics from aqueous solution using carbon materials. Vol. 153, *Chemosphere*. Elsevier Ltd; 2016. p.365-85. doi:[10.1016/j.chemosphere.2016.03.083](https://doi.org/10.1016/j.chemosphere.2016.03.083)
13. Yan L, Liu Y, Zhang Y, Liu S, Wang C, Chen W, et al. ZnCl₂ modified biochar derived from aerobic granular sludge for developed microporosity and enhanced adsorption to tetracycline. *Bioresour Technol* 2020;297:122381. doi:[10.1016/j.biortech.2019.122381](https://doi.org/10.1016/j.biortech.2019.122381)
14. Putra EK, Pranowo R, Sunarso J, Indraswati N, Ismadji S. Performance of activated carbon and bentonite for adsorption of amoxicillin from wastewater: Mechanisms, isotherms and kinetics. *Water Res* 2009;43:2419-30. doi:[10.1016/j.watres.2009.02.039](https://doi.org/10.1016/j.watres.2009.02.039)
15. Jang HM, Yoo S, Choi YK, Park S, Kan E. Adsorption isotherm, kinetic modeling and mechanism of tetracycline on Pinus taeda-derived activated biochar. *Bioresour Technol* 2018;259:24-31. doi:[10.1016/j.biortech.2018.03.013](https://doi.org/10.1016/j.biortech.2018.03.013)
16. Liu J, Zhou B, Zhang H, Ma J, Mu B, Zhang W. A novel Biochar modified by Chitosan-Fe/S for tetracycline adsorption and studies on site energy distribution. *Bioresour Technol* 2019;294.
17. Martins AC, Pezoti O, Cazetta AL, Bedin KC, Yamazaki DAS, Bandoch GFG, et al. Removal of tetracycline by NaOH-activated carbon produced from macadamia nut shells: Kinetic and equilibrium studies. *Chem Eng J* 2015;260:291-9. doi:[10.1016/j.biortech.2019.122152](https://doi.org/10.1016/j.biortech.2019.122152)
18. Zhou Y, He Y, He Y, Liu X, Xu B, Yu J, et al. Analyses of tetracycline adsorption on alkali-acid modified magnetic biochar: Site energy distribution consideration. *Sci Total Environ* 2019;650:2260-6. doi:[10.1016/j.scitotenv.2018.09.393](https://doi.org/10.1016/j.scitotenv.2018.09.393)
19. Shirani Z, Santhosh C, Iqbal J, Bhatnagar A. Waste Moringa oleifera seed pods as green sorbent for efficient removal of toxic aquatic pollutants. *J Environ Manage* 2018;227:95-106. doi:[10.1016/j.jenvman.2018.08.077](https://doi.org/10.1016/j.jenvman.2018.08.077)
20. Dutta DP, Mathur A, Ramkumar J, Tyagi AK. Sorption of dyes and Cu(II) ions from wastewater by sonochemically synthesized MnWO₄ and MnMoO₄ nanostructures. *RSC Adv* 2014;4:37027-35. doi:[10.1039/C4RA07618D](https://doi.org/10.1039/C4RA07618D)
21. Kafil M, Nasab SB, Moazed H, Jokiniemi J, Lähde A, Bhatnagar A. Efficient removal of azo dyes from water with chitosan/carbon nanofloas a novel nanocomposite synthesized by pyrolysis technique. *Desalin Water Treat* 2019;142:308-20. doi: [10.5004/dwt.2019.24241](https://doi.org/10.5004/dwt.2019.24241)
22. Parolo ME, Savini MC, Vallés JM, Baschini MT, Avena MJ. Tetracycline adsorption on montmorillonite: pH and ionic strength effects. *Appl Clay Sci* 2008;40:179-86. doi:[10.1016/j.clay.2007.08.003](https://doi.org/10.1016/j.clay.2007.08.003)
23. Gogoi S, Chakraborty S, Saikia MD. Surface modified pineapple crown leaf for adsorption of Cr(VI) and Cr(III) ions from aqueous solution. *J Environ Chem Eng* 2018;6:2492-501. doi:[10.1016/j.jece.2018.03.040](https://doi.org/10.1016/j.jece.2018.03.040)
24. Zhang P, Li Y, Cao Y, Han L. Characteristics of tetracycline adsorption by cow manure biochar prepared at different pyrolysis temperatures. *Bioresour Technol* 2019;285:121348. doi:[10.1016/j.biortech.2019.121348](https://doi.org/10.1016/j.biortech.2019.121348)
25. Maged A, Iqbal J, Kharbish S, Ismael IS, Bhatnagar A. Tuning tetracycline removal from aqueous solution onto activated 2:1 layered clay mineral: Characterization, sorption and mechanistic studies. *J Hazard Mater* 2020;384. doi:[10.1016/j.jhazmat.2019.121320](https://doi.org/10.1016/j.jhazmat.2019.121320)



Removal of Tetracycline from Aqueous Medium Using Modified Biochar: Study of Effective Parameters, Kinetic Models and Isotherms

Mohamad Ajam (Ph.D. Student)^{1*}, Majid Ehteshami (Ph.D.)¹, Siamak Boudaghpour (Ph.D.)¹, Seyed Ahmad Mirbagheri (Ph.D.)¹

1- Dept. of Environmental Engineering, School of Civil Engineering, Khajeh Nasir Toosi University of Technology, Tehran, Iran.

Received: 2 September 2020, **Accepted:** 7 December 2020

Abstract:

Introduction: The presence of antibiotics in drinking water negatively affects human health. The present study aimed at improving the adsorption performance of tetracycline (TC) by adjusting biomaterial with MnMoO₄, which is emanated from aerobic algae.

Methods: This is a fundamental and applied study in which Algae biochar composite and manganese molybdate as the effective adsorbents in the removal of tetracycline antibiotics were used. This study has some objectives, which are as follows: (a) characterizing composite (biochar modified by MnMoO₄), (b) preparing an effective adsorbent for TC evacuation and giving a potential specialized help for TC wastewater treatment under different experimental conditions through altering operational parameters, namely catalyst dosage, pollutant concentration, initial pH of the solution, and (c) concluding adsorption mechanisms, kinetic and equilibrium models that were employed in the experimental data.

Results: The results indicated that The maximum adsorption performance of TC reached 81% in netural pH. It suggested that optimization of pH was taken into account in netural pH. The adsorption of TC on MMBC shows good agreement with the pseudo-second-order model and the Langmuir isotherm.

Conclusion: The results showed that algae biochar composite and manganese molybdate highly efficiently absorbed tetracycline. it can be used to remove contaminants from water.

Keywords: Tetracycline biosorption, Algae, MnMoO₄, Modification, Modeling.

Conflict of Interest: No

*Corresponding author: M. Ajam, Email: m_ajam88@yahoo.com

Citation: Ajam M, Ehteshami M, Boudaghpour S, Mirbagheri S.A. Removal of tetracycline from aqueous medium using modified biochar: study of effective parameters, kinetic models and isotherms. Journal of Knowledge & Health in Basic Medical Sciences 2020;15(3):67-76.